

УДК 534.16

МОДИФИЦИРОВАННЫЙ АЛГЕБРАИЧЕСКИЙ МЕТОД РЕШЕНИЯ ЗАДАЧ О КОЛЕБАНИЯХ ОСЦИЛЛЯТОРОВ С НЕЛИНЕЙНЫМИ ПРУЖИНАМИ И ДЕМПФЕРАМИ

М. Мухаммадиан

Филиал Исламского университета Азад в г. Горган, Горган, Иран
E-mail: mo.mohammadyan@gmail.com

Предложен модифицированный алгебраический метод решения задач о колебаниях нелинейных осцилляторов. В качестве пробного решения выбираются полиномы, коэффициенты которых определяются из системы алгебраических уравнений. Для расширения области определения решения преобразование Лапласа применяется к решению, полученному алгебраическим методом, затем используется аппроксимация Паде, после чего применяется обратное преобразование Лапласа для получения периодического решения. Предложенный метод используется при решении задач о колебаниях нелинейного осциллятора и задач о поперечных колебаниях гибкой балки со свободно опертыми торцами, нагруженной осевой силой. Проведено сравнение решений, полученных предложенным методом, с численным решением, полученным методом Рунге — Кутты четвертого порядка.

Ключевые слова: алгебраический метод, нелинейный осциллятор, коэффициент затухания, метод Рунге — Кутты.

DOI: 10.15372/PMTF20210109

Введение. В рамках структурной механики и физики изучаются нелинейные явления, которые моделируются поведением осцилляторов, содержащих существенно нелинейные жесткости (пружины) и демпферы (вязкие элементы) [1–4]. Например, исследование поперечных колебаний гибкой балки под действием осевой силы сводится к исследованию нелинейного дифференциального уравнения с нелинейными членами третьего-пятого порядков, учитывающих наличие демпфирующих элементов [5]. Получение аналитических решений таких задач существенно затруднено и зачастую невозможно.

Для решения нелинейных дифференциальных уравнений предложены различные методы: методы, основанные на частотно-амплитудной формулировке задачи [6–8], минимаксный метод [9, 10], метод гармонического баланса общего остатка [11–14], метод Гамильтона [15, 16], энергетический метод [17, 18] и вариационные методы [19]. Однако большинство предложенных методов неприменимы к неконсервативным системам

Для решения нелинейных дифференциальных уравнений предложен алгебраический метод (АМ). В этом методе используются только начальные условия, основное дифференциальное уравнение и его производные. В отличие от других методов, таких как метод дифференциальных преобразований [20], метод оптимальных гомотопических возмущений [21, 22] и метод разложения Адомиана [23], АМ легко реализуем. Следует отметить, что

АМ применяется при решении нелинейных дифференциальных уравнений, в частности уравнений задач о колебаниях нелинейных осцилляторов [24–28]. В указанных выше работах в качестве пробного решения дифференциального уравнения выбираются тригонометрические функции, а затем с использованием АМ определяются неизвестные коэффициенты в этом решении. В результате такой процедуры строится система алгебраических уравнений, содержащих синусы и косинусы, которую очень трудно, а иногда невозможно решить. В работе [29] с использованием тригонометрических функций и вариационно-итерационного метода модифицирован АМ [29].

1. Модифицированный алгебраический метод. Основное дифференциальное уравнение и начальные условия записываются в виде

$$f(\ddot{u}, \dot{u}, u) = 0; \tag{1}$$

$$u(0) = A, \quad \dot{u}(0) = B, \tag{2}$$

где u — функция времени t . Решение уравнения (1) ищется в виде полинома:

$$u(t) = \sum_{i=0}^n a_i t^i = a_0 + a_1 t + a_2 t^2 + \dots + a_n t^n. \tag{3}$$

Решение (3) содержит $n + 1$ неизвестных констант, для определения которых необходимо построить $n + 1$ уравнений. Для этого должны быть выполнены начальные условия. В результате получаем

$$u|_{t=0} = A \rightarrow a_0 = A, \quad \dot{u}|_{t=0} = B \rightarrow a_1 = B. \tag{4}$$

Итак, первые две неизвестные константы определяются соотношением (4). Для того чтобы определить остальные $n - 1$ констант, подставим решение (3) в уравнение (1) и уравнения, полученные из (1) при его дифференцировании (при этом используются начальные условия и условия, получаемые из них путем дифференцирования):

$$\begin{aligned} f(\ddot{u}(C_i), \dot{u}(C_i), u(C_i)) &= 0, \\ f'(\ddot{u}(C_i), \dot{u}(C_i), u(C_i)) &= 0, \\ f''(\ddot{u}(C_i), \dot{u}(C_i), u(C_i)) &= 0, \\ &\dots \end{aligned} \tag{5}$$

Здесь C_i — обозначение начальных условий (2). Число производных в системе (5) равно числу неизвестных констант $n - 1$. Например, если решение (3) является полиномом четвертой степени, то число неизвестных констант равно пяти, причем две из них определены в соотношениях (4). Для определения трех остальных констант необходимы три уравнения. В соответствии с (5) основное дифференциальное уравнение, его первая и вторая производные являются необходимыми тремя уравнениями.

Таким образом, уравнения (4), (5) являются $n + 1$ уравнениями для определения $n + 1$ неизвестных констант.

В случае если дифференциальное уравнение (1) описывает поведение осциллятора, решение (3) справедливо только при малых значениях времени, поскольку не является периодическим. Для устранения этого недостатка предлагается следующая простая и эффективная процедура. Сначала к решению (3) применяется преобразование Лапласа:

$$L[u(t)] = \frac{a_0}{s} + \frac{a_1}{s^2} + \frac{2a_2}{s^3} + \frac{6a_3}{s^4} + \frac{24a_4}{s^5} + \dots \tag{6}$$

Затем в уравнении (6) переменная s заменяется переменной $1/t$:

$$g(t) = L[u(t)] = a_0 t + a_1 t^2 + 2a_2 t^3 + 6a_3 t^4 + 24a_4 t^5 + \dots \tag{7}$$

С использованием аппроксимации Паде уравнение (7) заменяется рациональной функцией. Аппроксимация Паде $[L/M]$ уравнения (7) строится следующим образом:

$$g(t) = \sum_{i=0}^L r_i t^i / \sum_{i=0}^M q_i t^i = \frac{r_0 + r_1 t + r_2 t^2 + \dots + r_L t^L}{1 + q_1 t + q_2 t^2 + \dots + q_M t^M} + O(t^{L+M+1}). \quad (8)$$

Здесь коэффициенты r_i , q_i в числителе и знаменателе определяются таким образом, чтобы функция $g(t)$, аппроксимация Паде $[L/M]$ и их производные имели одни и те же значения в интервале от $t = 0$ до $t = L + M$. С учетом (8) получаем следующую систему линейных алгебраических уравнений:

$$\begin{aligned} g_L q_1 + \dots + g_{L-M+1} q_M &= -g_{L+1}, \\ g_{L+1} q_1 + \dots + g_{L-M+2} q_M &= -g_{L+2}, \\ \dots & \dots \\ g_{L+M-1} q_1 + \dots + g_L q_M &= -g_{L+M}; \end{aligned} \quad (9)$$

$$\begin{aligned} r_L &= g_0, \\ r_1 &= g_1 + g_0 q_1, \\ \dots & \dots \\ r_L &= g_L + g_{L-1} q_1 + \dots + g_0 q_L. \end{aligned} \quad (10)$$

Сначала из системы (9) определяются коэффициенты q_i , затем из системы (10) определяются коэффициенты r_i . Полагая $t = 1/s$ и применяя обратное преобразование Лапласа к уравнению (8), получаем модифицированное решение уравнения (1), которое является периодическим.

2. Применение модифицированного алгебраического метода. Для того чтобы показать точность и преимущества предлагаемого метода, рассмотрим несколько примеров.

2.1. *Пример 1.* Рассматривается вращающийся осциллятор с линейными и нелинейными пружинами и демпферами (рис. 1). Нелинейное дифференциальное уравнение движения этого осциллятора имеет вид [30]

$$f(\theta) = \ddot{\theta} + (c_1 + c_2 \theta^3) \dot{\theta} + k_1 \theta + k_2 \theta^3 = 0.$$

Для этого уравнения ставятся следующие начальные условия:

$$\theta(0) = A, \quad \dot{\theta}(0) = B.$$

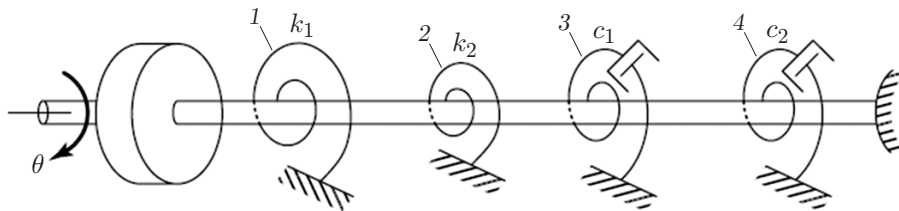


Рис. 1. Вращающийся осциллятор с линейными и нелинейными пружинами и демпферами:

1 — линейная пружина, 2 — нелинейная пружина, 3 — линейный демпфер, 4 — нелинейный демпфер

Принимая для решения представление (3) и полагая $n = 7$, получаем

$$\theta(t) = a_0 + a_1t + a_2t^2 + \dots + a_7t^7. \quad (11)$$

С учетом начальных условий из (11) следует

$$a_0 = A, \quad a_1 = B. \quad (12)$$

Применяя алгебраический метод (см. уравнения (5)), получаем систему уравнений

$$\begin{aligned} f(\theta(0)): \quad & 2a_2 + (c_1 + c_2a_0^3)a_1 + k_1a_0 + k_2a_0^3 = 0, \\ f'(\theta(0)): \quad & 6a_3 + 3c_2a_0^2a_1^2 + 2(c_1 + c_2a_0^3)a_2 + k_1a_1 + 3k_2a_0^2a_1 = 0, \\ f''(\theta(0)): \quad & 24a_4 + 6c_2a_0a_1^3 + 18c_2a_1a_2a_0^2 + 6(c_1 + c_2a_0^3)a_3 + 2k_1a_2 + 6k_2a_1^2a_0 + 6k_2a_0^2a_2 = 0, \\ f'''(\theta(0)): \quad & 120a_5 + 6c_2a_1^4 + 72c_2a_1^2a_0a_2 + 36c_2a_0^2a_2^2 + 72c_2a_0^2a_1a_3 + 24(c_1 + c_2a_0^3)a_4 + \\ & + 6k_1a_3 + 6k_2a_1^3 + 36k_2a_0a_1a_2 + 18k_2a_0^2a_3 = 0, \\ f^4(\theta(0)): \quad & 720a_6 + 120c_2a_1^3a_2 + 360c_2a_2^2a_0a_1 + 360c_2a_1^2a_0a_3 + 360c_2a_0^2a_2a_3 + \\ & + 360c_2a_0^2a_1a_4 + 120(c_1 + c_2a_0^3)a_5 + 24k_1a_4 + 72k_2a_1^2a_2 + 72k_2a_2^2a_0 + \\ & + 144k_2a_0a_1a_3 + 72k_2a_0^2a_4 = 0, \\ f^5(\theta(0)): \quad & 5040a_7 + 1080c_2a_1^2a_2^2 + 720c_2a_2^3a_0 + 2160c_2a_1^2a_0a_4 + 1080c_2a_0^2a_3^2 + \\ & + 2160c_2a_0^2a_2a_4 + 2160c_2a_0^2a_1a_5 + 360k_2a_2^2a_1 + 720k_2a_0a_2a_3 + 720k_2a_0a_1a_4 + 120k_1a_5 + \\ & + 720(c_1 + c_2a_0^3)a_6 + 360k_2a_0^2a_5 + 720c_2a_1^3a_3 + 4320c_2a_0a_1a_2a_3 + 360k_2a_1^2a_3 = 0. \end{aligned} \quad (13)$$

Полагая для рассматриваемого осциллятора $c_1 = 0,8$, $c_2 = 0,2$, $k_1 = 10$, $k_2 = 2$, принимая начальные условия $\theta(0) = -0,2$, $\dot{\theta}(0) = 1$ и решая систему уравнений (12), (13), находим неизвестные коэффициенты a_i : $a_0 = -0,2$, $a_1 = 1$, $a_2 = 0,6088$, $a_3 = -1,872\,689$, $a_4 = -0,039\,373\,5$, $a_5 = 0,950\,87$, $a_6 = -0,415\,455\,7$, $a_7 = -0,047\,308\,3$. Поэтому соотношение (11) записывается в следующем виде:

$$\begin{aligned} \theta(t) = & -0,2 + t + 0,6088t^2 - 1,872\,689t^3 - 0,039\,373\,5t^4 + \\ & + 0,950\,87t^5 - 0,415\,455\,7t^6 - 0,047\,308\,3t^7. \end{aligned} \quad (14)$$

Используя модифицированный алгебраический метод (ММ), преобразуем решение (14). Применяя преобразование Лапласа к уравнению (13), получаем

$$\begin{aligned} L[\theta(t)] = & -\frac{0,2}{s} + \frac{1}{s^2} + \frac{1,2176}{s^3} - \frac{11,236\,134}{s^4} - \frac{0,944\,964}{s^5} + \frac{114,1044}{s^6} - \\ & - \frac{299,128\,104}{s^7} - \frac{238,433\,832}{s^8}. \end{aligned} \quad (15)$$

Полагая в выражении (15) $s = 1/t$, имеем

$$\begin{aligned} L[\theta(t)] = & -0,2t + t^2 + 1,2176t^3 - 11,236\,134t^4 - 0,944\,964t^5 + 114,1044t^6 - \\ & - 299,128\,104t^7 - 238,433\,832t^8. \end{aligned} \quad (16)$$

Применяя аппроксимацию Паде $[4/4]$ к (16) и учитывая, что $t = 1/s$, находим

$$\left[\frac{4}{4} \right] = \frac{-s^3 + 1,5753s^2 - 76,4623s + 366,6361}{5s^4 + 17,1237s^3 + 498,37s^2 + 482,015\,56s + 4458,5078}. \quad (17)$$

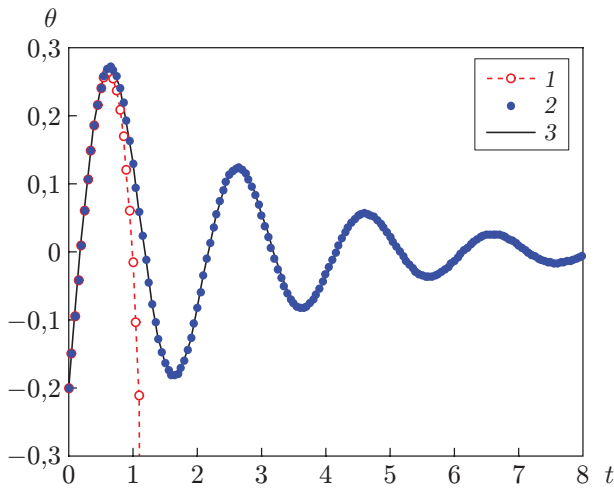


Рис. 2

Рис. 2. Решения задачи 1, полученные с использованием АМ (1), МАМ (2) и МРК4 (3), при $c_1 = 0,8$, $c_2 = 0,2$, $k_1 = 10$, $k_2 = 2$, $\theta(0) = -0,2$, $\dot{\theta}(0) = 1$

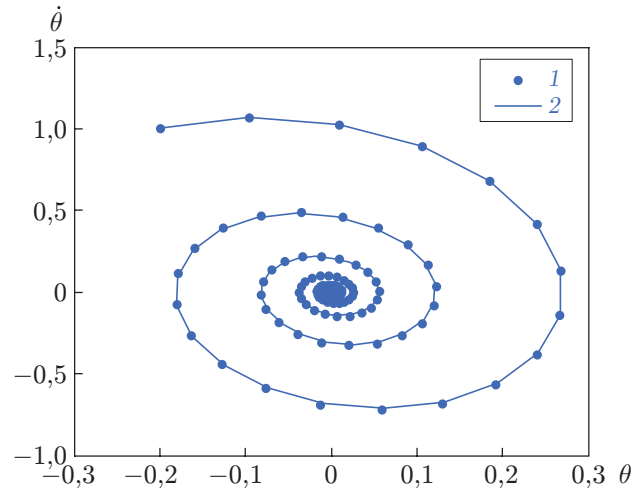


Рис. 3

Рис. 3. Фазовые диаграммы в задаче 1, полученные с использованием МАМ (1) и МРК4 (2), при $c_1 = 0,8$, $c_2 = 0,2$, $k_1 = 10$, $k_2 = 2$, $\theta(0) = -0,2$, $\dot{\theta}(0) = 1$

Применяя обратное преобразование Лапласа к выражению (17), получаем решение в виде

$$\theta(t) = m_1 e^{(-1,314\,209 - 9,254\,642i)t} + m_2 e^{(-1,314\,209 + 9,254\,642i)t} + m_3 e^{(-0,398\,161 - 3,169\,678i)t} + m_4 e^{(-0,398\,161 + 3,169\,678i)t}, \quad (18)$$

где

$$\begin{aligned} m_1 &= 0,000\,157\,67 + 0,000\,106\,21i, & m_2 &= 0,000\,157\,67 - 0,000\,106\,21i, \\ m_3 &= -0,100\,157\,67 + 0,144\,919\,9i, & m_4 &= -0,100\,157\,67 - 0,144\,919\,9i. \end{aligned}$$

Отделяя действительную часть выражения (18), имеем

$$\theta(t) = e^{-0,398\,161t} (n_1 \sin(\omega_1 t) + n_2 \cos(\omega_1 t)) + e^{-1,314\,21t} (n_3 \sin(\omega_2 t) + n_4 \cos(\omega_2 t)), \quad (19)$$

где $n_1 = 0,289\,839\,8$; $n_2 = -0,200\,315\,34$; $n_3 = 0,000\,212\,42$; $n_4 = 0,000\,315\,339$; $\omega_1 = 3,169\,678$; $\omega_2 = 9,254\,642$.

Для того чтобы проверить точность решения (19), полученного с использованием МАМ, проведено его сравнение с численным решением, полученным методом Рунге — Кутты четвертого порядка (МРК4). На рис. 2 приведены зависимости $\theta(t)$, полученные различными методами. На рис. 3 представлены фазовые диаграммы в плоскости $(\theta(t), \dot{\theta}(t))$. Из зависимостей, приведенных на рис. 2, следует, что решение, полученное с использованием АМ, справедливо только на небольшом начальном интервале времени. Применение МАМ позволяет существенно уточнить решение (см. рис. 2, 3). В табл. 1 приведены решения, полученные с использованием МАМ и МРК4.

2.2. *Пример 2.* На рис. 4 показана гибкая балка со свободно опертыми торцами, на которую действует постоянная осевая сила. Поперечные колебания такой балки описываются дифференциальным уравнением [5]

$$\begin{aligned} f(t) &= \ddot{w} + (c_1 - c_2 w^2 + c_3 w^4) \dot{w} + k_1 w - k_2 w^3 - k_3 w^5 = 0, \\ w(0) &= A, \quad \dot{w}(0) = B. \end{aligned} \quad (20)$$

Таблица 1

Угол поворота $\theta(t)$ и скорость изменения угла поворота $\dot{\theta}(t)$ в задаче 1

t	$\theta(t)$			$\dot{\theta}(t)$		
	МРК4	МАМ	Δ	МРК4	МАМ	Δ_1
0	-0,2000	-0,2000	0	1,0000	1,0000	0
0,5	0,2398	0,2397	0,0003	0,4168	0,4158	0,0024
1,0	0,1314	0,1289	0,0186	-0,6739	-0,6806	-0,0100
1,5	-0,1619	-0,1640	-0,0128	-0,2730	-0,2629	-0,0371
2,0	-0,0876	-0,0828	-0,0540	0,4522	0,4629	0,0237
2,5	0,1087	0,1120	0,0307	0,1819	0,1657	0,0891
3,0	0,0588	0,0531	0,0971	-0,3028	-0,3146	-0,0389
3,5	-0,0728	-0,0765	-0,0506	-0,1222	-0,1040	-0,1491
4,0	-0,0396	-0,0339	-0,1436	0,2026	0,2137	0,0544
4,5	0,0487	0,0521	0,0710	0,0824	0,0649	0,2124
5,0	0,0267	0,0215	0,1917	-0,1355	-0,1450	-0,0698
5,5	-0,0325	-0,0355	-0,0914	-0,0557	-0,0403	-0,2768
6,0	-0,0180	-0,0137	-0,2405	0,0906	0,0983	0,0846
6,5	0,0217	0,0242	0,1115	0,0376	0,0248	0,3416
7,0	0,0121	0,0086	0,2898	-0,0606	-0,0666	-0,0988
7,5	-0,0145	-0,0164	-0,1309	-0,0254	-0,0151	-0,4061
8,0	-0,0082	-0,0054	-0,3391	0,0405	0,0451	0,1123

Примечание. $\Delta = [(\theta_{\text{МРК4}} - \theta_{\text{МАМ}})/\theta_{\text{МРК4}}] \cdot 100 \%$, $\Delta_1 = [(\dot{\theta}_{\text{МРК4}} - \dot{\theta}_{\text{МАМ}})/\dot{\theta}_{\text{МРК4}}] \cdot 100 \%$.

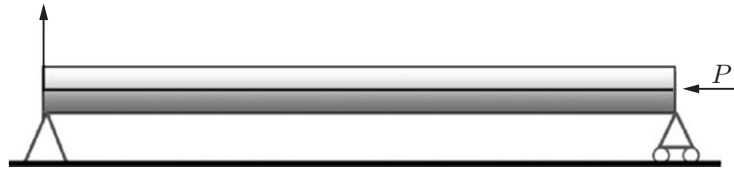


Рис. 4. Свободно опертая гибкая балка, нагруженная осевой силой

Для того чтобы решить задачу (20) с помощью МАМ, аппроксимируем прогиб полиномом третьей степени:

$$w(t) = a_0 + a_1t + a_2t^2 + a_3t^3. \tag{21}$$

Из начальных условий следует

$$w(0) = A \rightarrow a_0 = A, \quad \dot{w}(0) = B \rightarrow a_1 = B. \tag{22}$$

Подставляя (21) в дифференциальное уравнение в (20) и в уравнения, полученные путем его дифференцирования, а также используя начальные условия, получаем

$$f(w(0)): \quad 2a_2 + (c_1 - c_2a_0^2 + c_3a_0^4)a_1 + k_1a_0 - k_2a_0^3 - k_3a_0^5 = 0, \tag{23}$$

$$f'(w(0)): \quad 6a_3 + (-2c_2a_0a_1 + 4c_3a_0^3a_1)a_1 + 2(c_1 - c_2a_0^2 + c_3a_0^4)a_2 + k_1a_1 - 3k_2a_0^2a_1 - 5k_3a_0^4a_1 = 0.$$

Из уравнений (22), (23) определяются коэффициенты a_i :

$$a_0 = A, \quad a_1 = B,$$

$$a_2 = -\frac{1}{2} Bc_1 + \frac{1}{2} Bc_2A^2 - \frac{1}{2} Bc_3A^4 - \frac{1}{2} Ak_1 + \frac{1}{2} k_2A^3 + \frac{1}{2} k_3A^5,$$

$$a_3 = \frac{1}{3} Ac_2B^2 - \frac{2}{3} B^2c_3A^3 + \frac{1}{6} Bc_1^2 - \frac{1}{3} Bc_1c_2A^2 + \frac{1}{3} Bc_1c_3A^4 + \frac{1}{6} k_1Ac_1 - \frac{1}{6} c_1k_2A^3 -$$

$$\begin{aligned}
& -\frac{1}{6}c_1k_3A^5 + \frac{1}{6}Bc_2^2A^4 - \frac{1}{3}Bc_2c_3A^6 - \frac{1}{6}c_2k_1A^3 + \frac{1}{6}c_2k_2A^5 + \frac{1}{6}c_2k_3A^7 + \frac{1}{6}Bc_3^2A^8 + \\
& + \frac{1}{6}c_3k_1A^5 - \frac{1}{6}c_3k_2A^7 - \frac{1}{6}c_3k_3A^9 - \frac{1}{6}k_1B + \frac{1}{2}Bk_2A^2 + \frac{5}{6}k_3A^4B.
\end{aligned}$$

Учитывая начальные условия $w(0) = 0,2$, $\dot{w}(0) = 0$ и полагая $c_1 = 2$, $c_2 = 1,5$, $c_3 = 2,5$, $k_1 = 64$, $k_2 = 3,5$, $k_3 = 2$, находим

$$w(t) = 0,2 - 6,3857t^2 + 4,13797t^3. \quad (24)$$

Применим преобразование Лапласа к выражению (24):

$$L[w(t)] = \frac{0,2}{s} - \frac{12,7714}{s^3} + \frac{24,8278}{s^4}. \quad (25)$$

Заменяя в (25) s на $1/t$, используя аппроксимацию Паде [2/2] и учитывая, что $t = 1/s$, получаем

$$\left[\begin{matrix} 2 \\ 2 \end{matrix} \right] = \frac{0,2s + 0,3888}{s^2 + 1,94402s + 63,857}. \quad (26)$$

Применяя обратное преобразование Лапласа к выражению (26), находим решение с помощью МАМ:

$$w(t) = e^{-0,972t}(0,02451 \sin(7,9317t) + 0,2 \cos(7,9317t)). \quad (27)$$

На рис. 5 приведена зависимость поперечного прогиба w гибкой балки, нагруженной осевой силой, от времени, на рис. 6 — зависимость скорости поперечного прогиба от поперечного прогиба. Решение, полученное с использованием МАМ, согласуется с численным решением. В табл. 2 приведены решения, полученные с помощью МАМ и МРК4.

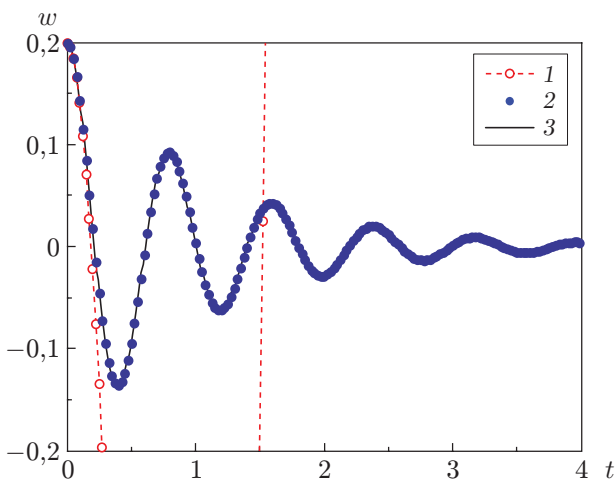


Рис. 5

Рис. 5. Решения задачи 2, полученные с использованием АМ (1), МАМ (2) и МРК4 (3), при $c_1 = 2$, $c_2 = 1,5$, $c_3 = 2,5$, $k_1 = 64$, $k_2 = 3,5$, $k_3 = 2$, $w(0) = 0,2$, $\dot{w}(0) = 0$

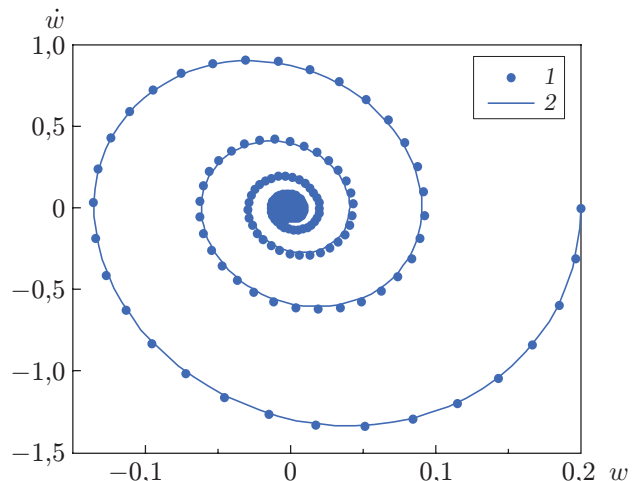


Рис. 6

Рис. 6. Фазовые диаграммы в задаче 2, полученные с использованием МАМ (1) и МРК4 (2), при $c_1 = 2$, $c_2 = 1,5$, $c_3 = 2,5$, $k_1 = 64$, $k_2 = 3,5$, $k_3 = 2$, $w(0) = 0,2$, $\dot{w}(0) = 0$

Таблица 2

Смещение $w(t)$ и скорость смещения $\dot{w}(t)$ в задаче 2

t	$w(t)$			$\dot{w}(t)$		
	МРК4	МАМ	Δ	МРК4	МАМ	Δ_1
0	0,2000	0,2000	0	0	0	0
0,2	0,0178	0,0176	0,8323	-1,3214	-1,3255	-0,3112
0,4	-0,1348	-0,1360	-0,9209	0,0358	0,0355	0,6561
0,6	-0,0083	-0,0084	-0,8511	0,8857	0,8977	1,3474
0,8	0,0906	0,0902	0,4644	-0,0481	-0,0482	-0,2635
1,0	0,0031	0,0032	0,7025	-0,5926	-0,6013	-1,4783
1,2	-0,0608	-0,0609	-0,1735	0,0484	0,0481	0,5081
1,4	-0,0005	-0,0004	-0,6572	0,3958	0,3905	1,3511
1,6	0,0408	0,0407	0,0868	-0,0432	-0,0432	-0,1021
1,8	-0,0008	-0,0008	-1,1210	-0,2641	-0,2622	-0,7236
2,0	-0,0273	-0,0274	-0,4291	0,0362	0,0357	1,3890
2,2	0,0013	0,0013	0,4495	0,1760	0,1770	0,5603
2,4	0,0183	0,0183	0,2449	-0,0291	-0,0290	-0,3457
2,6	-0,0014	-0,0014	-1,6660	-0,1171	-0,1160	-0,9725
2,8	-0,0122	-0,0123	-0,9588	0,0227	0,0229	0,7304
3,0	0,0013	0,0012	0,7335	0,0779	0,0768	1,3526
3,2	0,0081	0,0082	0,8337	-0,0174	-0,0176	-1,2824

Примечание. $\Delta = [(w_{\text{МРК4}} - w_{\text{МАМ}})/w_{\text{МРК4}}] \cdot 100 \%$, $\Delta_1 = [(\dot{w}_{\text{МРК4}} - \dot{w}_{\text{МАМ}})/\dot{w}_{\text{МРК4}}] \cdot 100 \%$.

В рассматриваемом примере можно получить эквивалентную систему линейных уравнений. Решение (27) можно записать в следующей форме:

$$w(t) = 0,2015 e^{-0,972t} \sin(7,9317t + 1,4489). \tag{28}$$

В то же время решение задачи для осциллятора с линейным демпфером имеет вид

$$x(t) = C e^{-\xi\omega_n t} \sin(\omega_n \sqrt{1 - \xi^2} t + \Phi). \tag{29}$$

Из решения (28), (29) следует

$$\omega_n \sqrt{1 - \xi^2} = 7,9317, \quad \xi\omega_n = 0,972.$$

Отсюда получаем значение для коэффициента демпфирования (затухания) $\xi = 0,1216$.

Заключение. В работе предложен модифицированный алгебраический метод, с использованием которого решены задачи о колебаниях существенно нелинейных осцилляторов. Решения представлены в виде зависимостей осциллирующих величин от времени и фазовых диаграмм. Установлено, что полученные аналитические решения хорошо согласуются с численными решениями, полученными с использованием метода Рунге — Кутты четвертого порядка. Предложенный метод легко реализуется и может быть использован при решении других инженерных задач о колебаниях осцилляторов.

ЛИТЕРАТУРА

1. **Tian Z., Jiang J.** An active nonlinear controller emulating a pendulum-type auto-parametric vibration absorber // J. Vibrat. Engng Technol. 2020. V. 8. P. 555–566.
2. **Laoye J. A., Roy-Layinde T. O., Omoteso K. A., et al.** Vibrational resonance in a higher-order nonlinear damped oscillator with rough potential // Pramana. 2019. V. 93. 102.

3. **Dou C., Fan J., Li C., et al.** On discontinuous dynamics of a class of friction-influenced oscillators with nonlinear damping under bilateral rigid constraints // *Mechanism Machine Theory*. 2020. V. 147. 103750.
4. **Sedighi H. M., Shirazi K. H.** Accurate investigation of lateral vibrations of a quintic nonlinear beam on an elastic foundation: Using an exact formulation of the beam curvature // *J. Appl. Mech. Tech. Phys.* 2014. V. 55, N 6. P. 1066–1074.
5. **Sedighi H. M., Shirazi K. H., Zare J.** An analytic solution of transversal oscillation of quintic non-linear beam with homotopy analysis method // *Intern. J. Non-Linear Mech.* 2012. V. 47. P. 777–784.
6. **Rafeipour H., Lotfavar A., Masroor A.** Analytical approximate solution for nonlinear vibration of microelectromechanical system using He's frequency amplitude formulation // *Iran. J. Sci. Technol. Trans. Mech. Engng.* 2013. V. 37. P. 83–90.
7. **Hu G.-F., Deng S.-X.** Ren's frequency-amplitude formulation for nonlinear oscillators // *J. Low Frequency Noise, Vibrat. Active Control.* 2019. V. 38. P. 1681–1686.
8. **Akbarzade M., Farshidianfar A.** Nonlinear dynamic analysis of an elastically restrained cantilever tapered beam // *J. Appl. Mech. Tech. Phys.* 2017. V. 58, N 3. P. 556–565.
9. **Ganji S. S., Ganji D. D., Davodi A. G., Karimpour S.** Analytical solution to nonlinear oscillation system of the motion of a rigid rod rocking back using max-min approach // *Appl. Math. Modelling.* 2010. V. 34. P. 2676–2684.
10. **Yazdi M. K., Ahmadian H., Mirzabeigy A., Yildirim A.** Dynamic analysis of vibrating systems with nonlinearities // *Comm. Theor. Phys.* 2012. V. 57. P. 183–187.
11. **Mohammadian M., Shariati M.** Approximate analytical solutions to a conservative oscillator using global residue harmonic balance method // *Chinese J. Phys.* 2017. V. 55. P. 47–58.
12. **Mohammadian M.** Application of the global residue harmonic balance method for obtaining higher-order approximate solutions of a conservative system // *Intern. J. Appl. Comput. Math.* 2017. V. 3. P. 2519–2532.
13. **Mohammadian M., Akbarzade M.** Higher-order approximate analytical solutions to nonlinear oscillatory systems arising in engineering problems // *Arch. Appl. Mech.* 2017. V. 87. P. 1317–1332.
14. **Mohammadian M., Pourmehrhan O., Ju P.** An iterative approach to obtaining the nonlinear frequency of a conservative oscillator with strong nonlinearities // *Intern. Appl. Mech.* 2018. V. 54. P. 470–479.
15. **Forsat M.** Investigating nonlinear vibrations of higher-order hyper-elastic beams using the Hamiltonian method // *Acta Mech.* 2020. V. 231. P. 125–138.
16. **Sedighi H. M., Shirazi K. H., Changizian M.** Effect of the amplitude of vibrations on the pull-in instability of double-sided actuated microswitch resonators // *J. Appl. Mech. Tech. Phys.* 2015. V. 56, N 2. P. 304–312.
17. **Khan Y., Mirzabeigy A.** Improved accuracy of He's energy balance method for analysis of conservative nonlinear oscillator // *Neural Comput. Applic.* 2014. V. 25. P. 889–895.
18. **Sierra-Porta D.** Analytic approximations to Liénard nonlinear oscillators with modified energy balance method // *J. Vibrat. Engng Technol.* 2020. V. 8. P. 713–720.
19. **Yazdi M. K., Mirzabeigy A., Abdollahi H.** Nonlinear oscillators with non-polynomial and discontinuous elastic restoring forces // *Nonlinear Sci. Lett. A.* 2012. V. 3. P. 48–53.
20. **Hatami M., Hatami J., Jafaryar M., Domairry G.** Differential transformation method for Newtonian and non-Newtonian fluids flow analysis: comparison with HPM and numerical solution // *J. Brazil. Soc. Mech. Sci. Engng.* 2016. V. 38. P. 589–599.
21. **Sheikholeslami M., Ganji D. D.** Magnetohydrodynamic flow in a permeable channel filled with nanofluid // *Sci. Iran. B.* 2014. V. 21. P. 203–212.

22. **Cao D. X., Wang J. J., Gao Y. H., Zhang W.** Free vibration of variable width beam: Asymptotic analysis with FEM simulation and experiment confirmation // J. Vibrat. Engng Technol. 2019. V. 7. P. 235–240.
23. **Dalir N., Nourazar S. S.** On absolute linear instability analysis of plane Poiseuille flow by a semi-analytical treatment // J. Brazil. Soc. Mech. Sci. Engng. 2015. V. 37. P. 495–505.
24. **Akbari M. R., Ganji D. D., Majidian A., Ahmadi A. R.** Solving nonlinear differential equations of Vanderpol, Rayleigh and Duffing by AGM // Frontiers Mech. Engng. 2014. V. 9. P. 177–190.
25. **Meresht N. B., Ganji D. D.** Solving nonlinear differential equation arising in dynamical systems by AGM // Intern. J. Appl. Comput. Math. 2017. V. 3. P. 1507–1523.
26. **Mirgolbabaee H., Ledari S. T., Gaji D. D.** New approach method for solving Duffing-type nonlinear oscillator // Alexandria Engng J. 2016. V. 55. P. 1695–1702.
27. **Mirgolbabaee H., Ledari S. T., Ganji D. D.** An assessment of a semi analytical AG method for solving nonlinear oscillators // New Trends Math. Sci. 2016. V. 4. P. 283–299.
28. **Akbari M., Nimafar M., Ganji D., Chalmiani H. K.** Investigation on non-linear vibration in arched beam for bridges construction via AGM method // Appl. Math. Comput. 2017. V. 298. P. 95–110.
29. **Mohammadian M., Shariati M.** Application of AG method and its improvement to nonlinear damped oscillators // Sci. Iran. 2020. V. 27. P. 203–214.
30. **Bayat M., Bayat M., Pakar I.** Analytical study of nonlinear vibration of oscillators with damping // Earthquakes Structures. 2015. V. 9. P. 221–232.

*Поступила в редакцию 11/II 2020 г.,
после доработки — 22/IV 2020 г.
Принята к публикации 27/IV 2020 г.*
